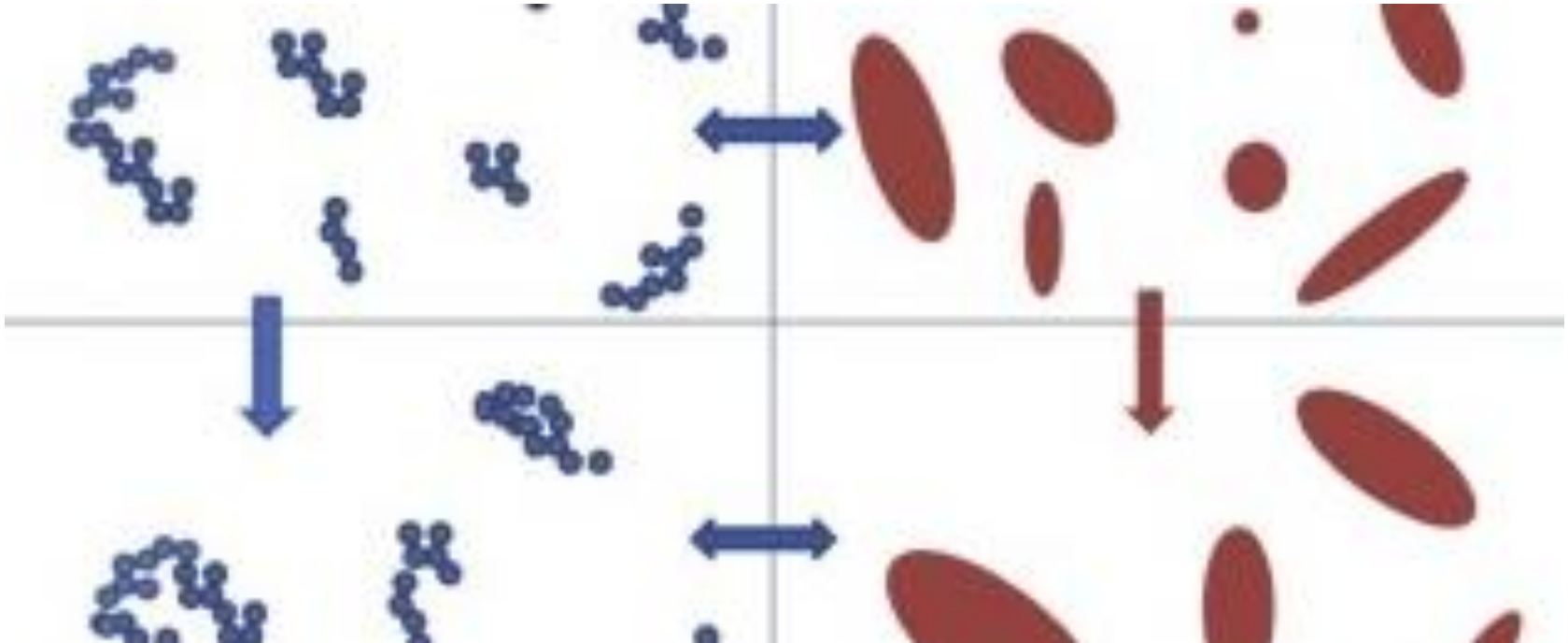


# Cuarta Parte:

## Clase 5 – VFA – *Lookup Tables 2*

Optimización Dinámica - ICS



Mathias Klapp

# Desafíos de AVI

1. ¿Cómo calibrar el paso  $\alpha_n$  del suavizamiento exponencial?
2. Como fue presentado, no garantiza convergencia al Q óptimo
3. Aceleración de ajuste (puede ser lento calibrando)
  - Backward-pass
3. Mantiene la maldición de decisiones y la de estados
  - Agregación del espacio de estados.
  - Heurísticas de decisión
4. ¿Problemas con estados continuos o una grilla muy fina?
  - Dynamic *look-up* table.



- ❖ Backward-pass
- ❖ Agregación de estados
- ❖ Dynamic *look-up* tables

# Algoritmo AVI (version estándar)

1. Iniciar:  $n \leftarrow 1$ ,  $\bar{Q}_t^0(y_t)$  para todo  $t$  y  $y_t$

2. Mientras  $n \leq N$ :

a. Iniciar corrida:  $s_1^n \leftarrow s_1$

b. Para cada  $t = 1, \dots, T$ :

Optimizar:

$$x_t^n \leftarrow \operatorname{argmax}_{x \in \mathbb{X}_t(s_t^n)} \{r_t(s_t^n, x) + \bar{Q}_t^{n-1}(y_t(s_t^n, x))\},$$

$$y_t^n \leftarrow y_t(s_t^n, x_t^n),$$

$$q_t^n \leftarrow r_t(s_t^n, x_t^n) + \bar{Q}_t^{n-1}(y_t^n).$$

Actualizar  $Q$ :

$$\bar{Q}_{t-1}^n(y_{t-1}^n) \leftarrow (1 - \alpha_n) \bar{Q}_{t-1}^{n-1}(y_{t-1}^n) + \alpha_n q_t^n$$

Simular transición a próximo estado:

$$s_{t+1}^n \leftarrow f(y_t^n, \omega_t^n)$$

c.  $n = n + 1$

3. Retornar  $\bar{Q}_t^N$

Optimización  
determinística

Estadística

Simulación

# AVI equipado con *backward-pass*

AVI puede ser lento y local para renovar sus estimaciones.

Consideremos la recalibración en la corrida  $n$  y etapa  $t$ :

$$\bar{Q}_{t-1}^n(y_{t-1}^n) \leftarrow (1 - \alpha_n)\bar{Q}_{t-1}^{n-1}(y_{t-1}^n) + \alpha_n q_t^n$$

La aproximación del estado de post-decisión  $y_{t-1}^n$  no se propaga a etapas anteriores (“hacia atrás”) y requiere de varias iteraciones para afectar el *value-to-go* de las etapas  $k < t$ .

**Arreglo:** *backpropagation through time*. Hacer actualización “hacia atrás” por la trayectoria simulada hasta  $t = 1$ .

# Algoritmo AVI equipado con *backward-pass*

1. Iniciar:  $n \leftarrow 1$ ,  $\bar{Q}_t^0(y_t)$  para todo  $t$  y  $y_t$
2. Mientras  $n \leq N$ :
  - a. Iniciar corrida:  $s_1^n \leftarrow s_1$
  - b. **Forward-pass:** Para cada  $t = 1, \dots, T$ :
$$x_t^n \leftarrow \operatorname{argmax}_{x \in \mathbb{X}_t(s_t^n)} \{r_t(s_t^n, x) + \bar{Q}_t^{n-1}(y_t(s_t^n, x))\},$$
$$y_t^n \leftarrow y_t(s_t^n, x_t^n),$$
$$s_{t+1}^n \leftarrow f(y_t^n, \omega_t^n).$$
  - c. **Backward-pass:**
$$q_{T+1}^n = 0$$
Para cada  $t = T, T-1, \dots, 2$ :
$$q_t^n \leftarrow r_t(s_t^n, x_t^n) + q_{t+1}^n$$
$$\bar{Q}_{t-1}^n(y_{t-1}^n) \leftarrow (1 - \alpha_n) \bar{Q}_{t-1}^{n-1}(y_{t-1}^n) + \alpha_n q_t^n$$
  - d.  $n = n + 1$
3. Retornar  $\bar{Q}_t^N$



- ❖ Backward-pass
- ❖ Agregación de estados
- ❖ Dynamic *look-up* tables

# Agregación de estados

Si hay maldición de estados, se requiere un número explosivo de simulaciones para recorrerlos todos varias veces y hacer estadística.

**Arreglo:** Estimar  $\bar{Q}$  sobre **super-estados** que representen varios estados de similar value-to-go.

Pasos:

1. Definir una función  $G_t: \mathbb{Y}_t \rightarrow \mathbb{G}_t$  que mapea cada estado de postdecisión a un espacio de super-estados con  $|\mathbb{G}_t| \ll |\mathbb{Y}_t|$  estados postdecisión.
2. Luego, estimar valor  $Q_t^G(g_t)$  para cada super-estado  $g_t \in \mathbb{G}_t$ .



# Ejemplo: Gestión de recursos móviles:

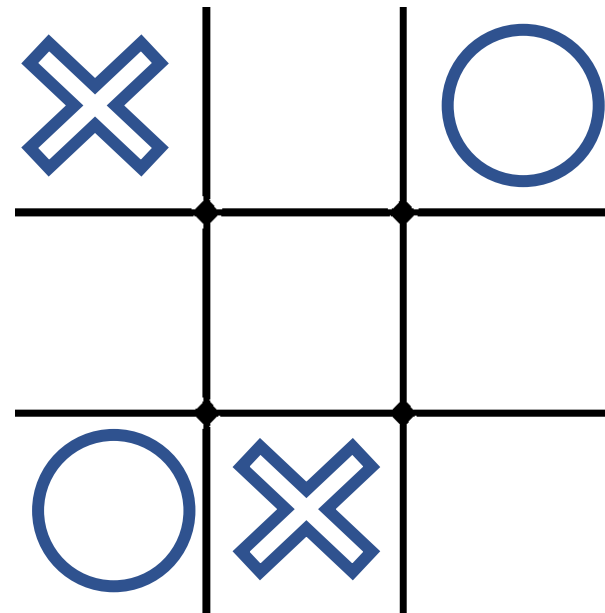
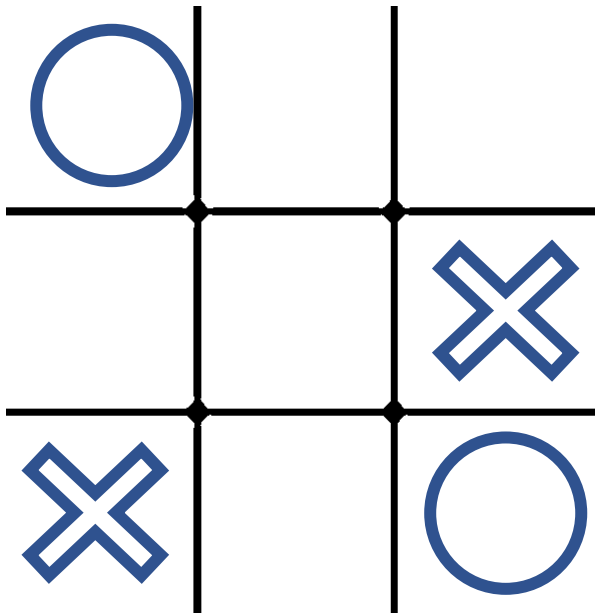
Posibles agregaciones:

| Aggregation Level | Location   | Fleet Type | Domicile | Size of State Space                 |
|-------------------|------------|------------|----------|-------------------------------------|
| 0                 | Sub-region | Fleet      | Region   | $400 \times 5 \times 100 = 200,000$ |
| 1                 | Region     | Fleet      | Region   | $100 \times 5 \times 100 = 50,000$  |
| 2                 | Region     | Fleet      | Zone     | $100 \times 5 \times 10 = 5,000$    |
| 3                 | Region     | Fleet      | —        | $100 \times 5 \times 1 = 500$       |
| 4                 | Zone       | —          | —        | $10 \times 1 \times 1 = 10$         |

Referencia: Warren Powell

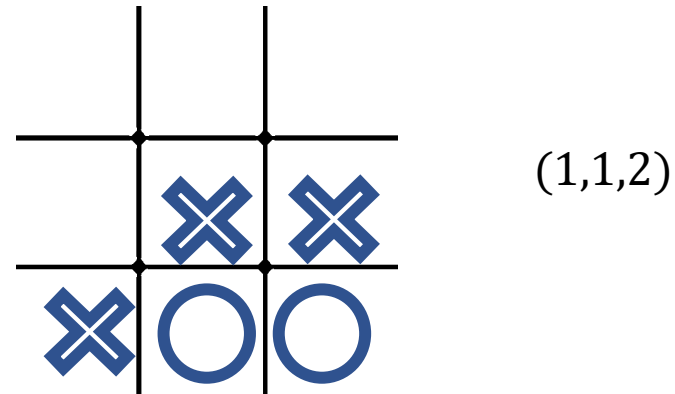
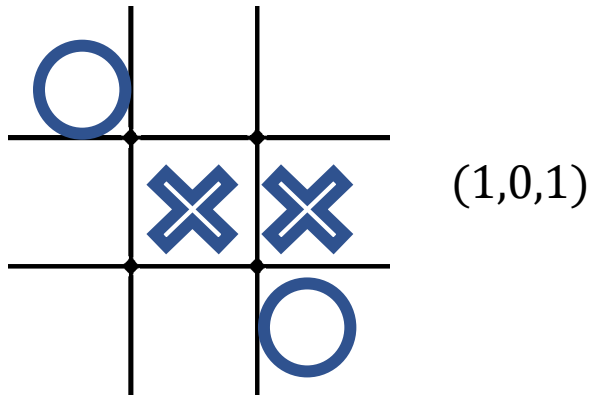
# Ejemplo: TIC-TAC-TOE (Gato)

- El tablero posee  $3^9 = 19,683$  estados.
- Uno decide las X. El juego del contrincante (O) se modela como una transición estocástica a otro estado dependiente del estado de postdecisión.
- Se calibra  $Q$  mediante simulación (“jugando”).
- Problema: Hay simetría. Estos 2 estados poseen mismo value-to-go:

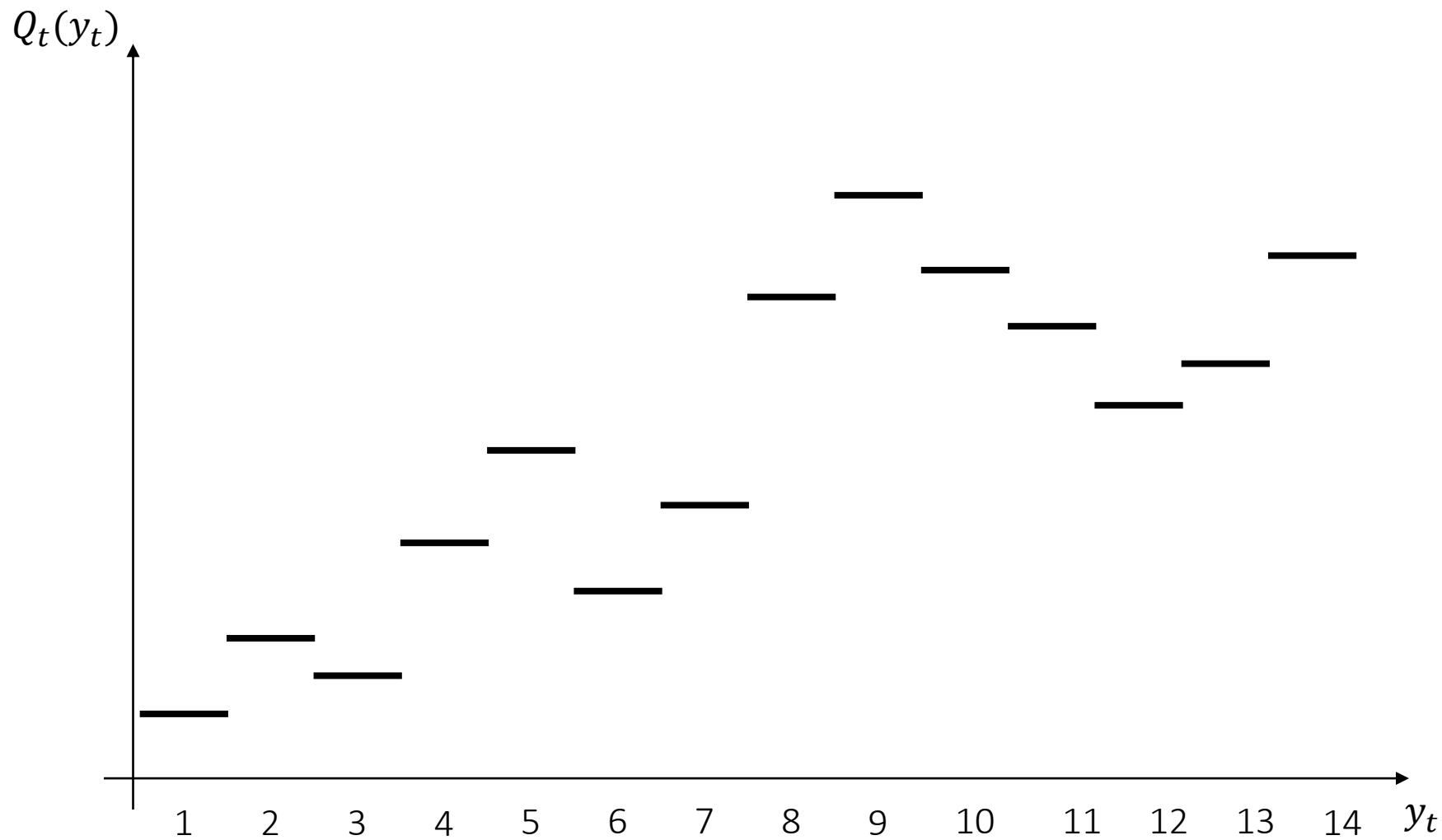


# Una forma de agregación a 30 estado

- $x \in \{0,1\}$ : si centro está ocupado por X.
- $y \in \{0,1,2,3,4\}$ : # de X en celdas esquina.
- $z \in \{0,1, \geq 2\}$ : cantidad de opciones para hacer 3 en línea.



# Agregación de estados:

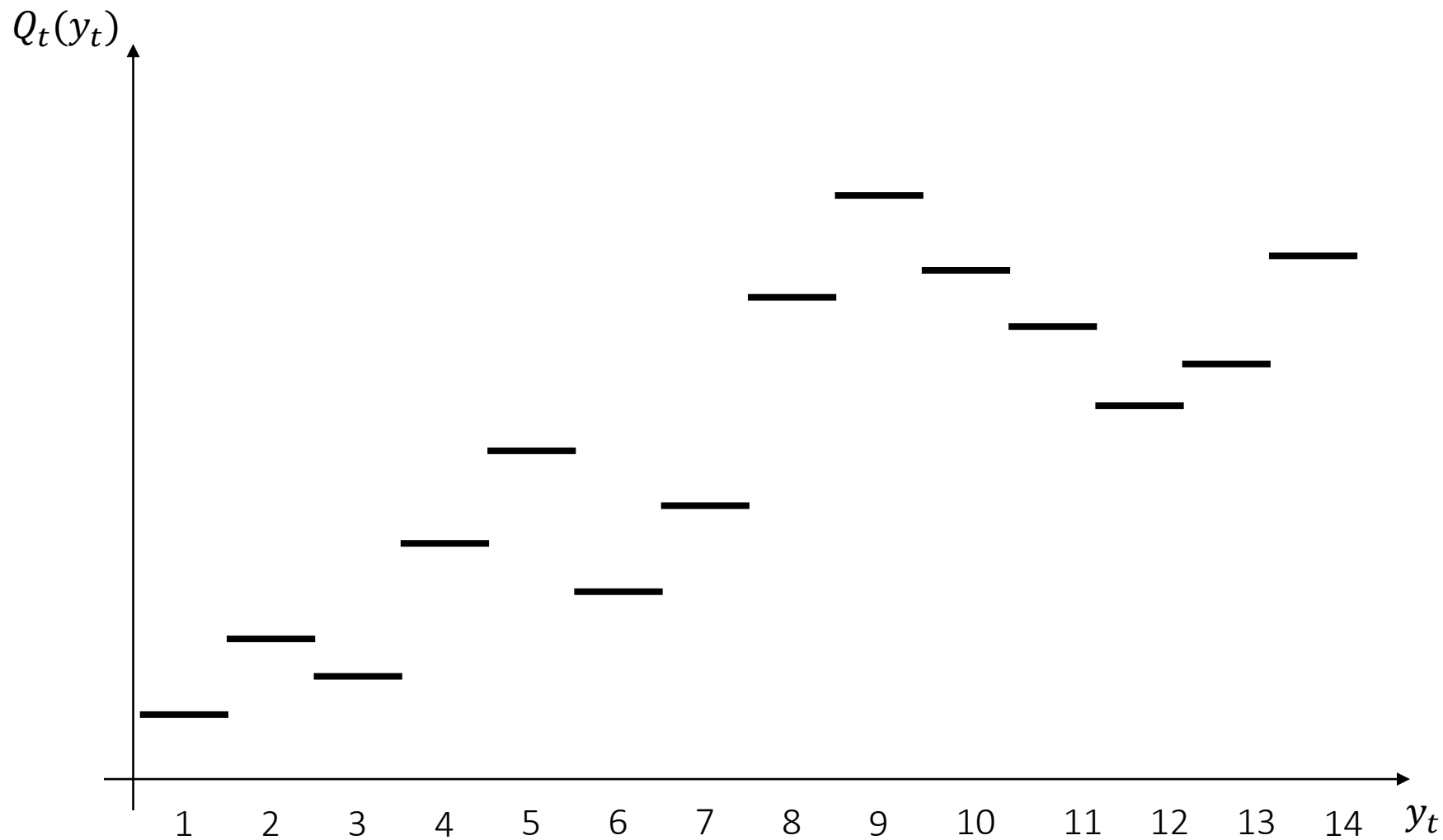


# Agregación de estados:

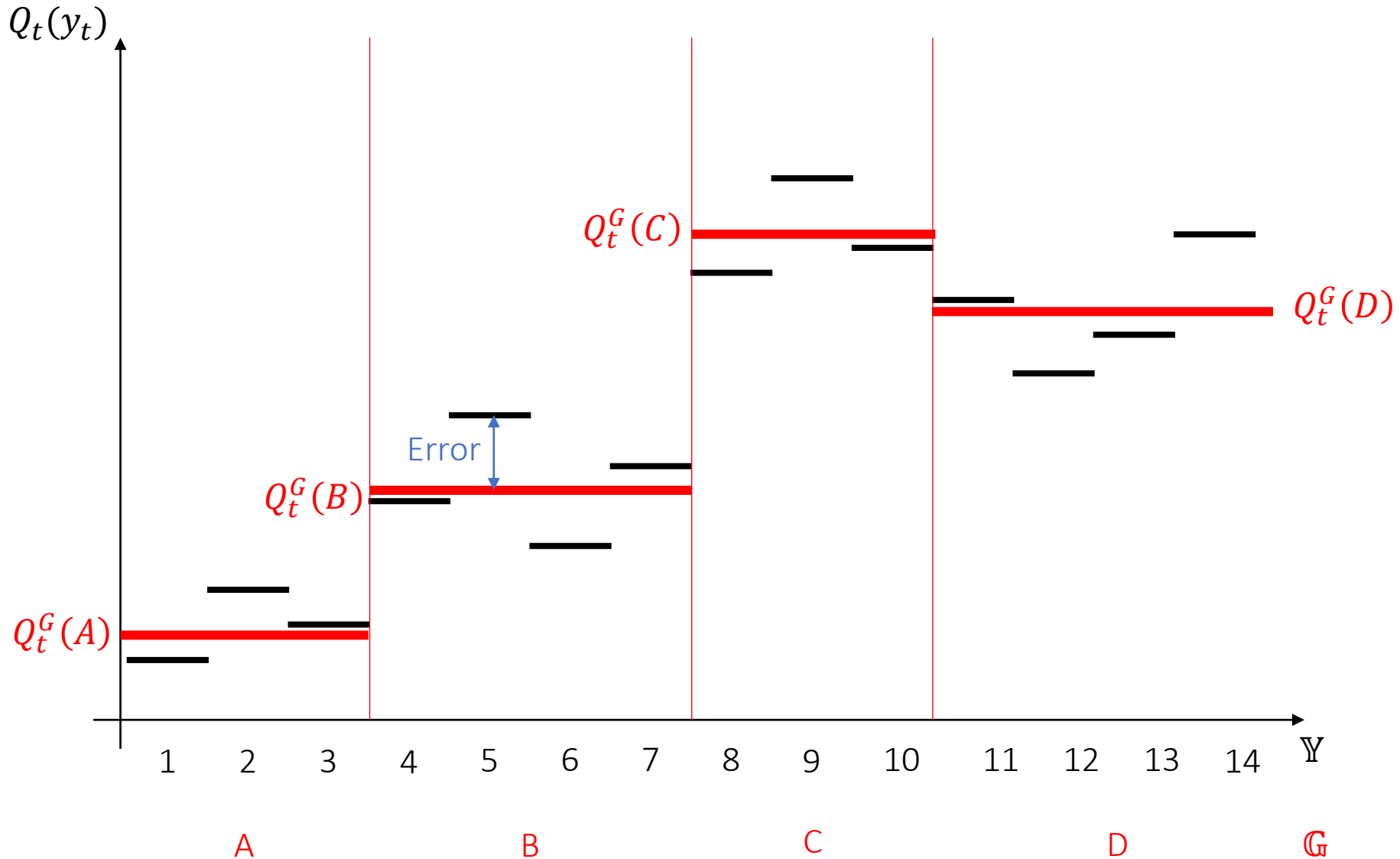
Agregación:

$$G(y) = \begin{cases} A & y \in \{1,2,3\} \\ B & y \in \{4,5,6,7\} \\ C & y \in \{8,9,10\} \\ D & y \in \{11,12,13,14\} \end{cases}$$

# Agregación de estados:



# Agregación de estados:



# Algoritmo AVI + agregación de estados

1. Iniciar:  $n \leftarrow 1$ ,  $\bar{Q}_t^{G,0}$  para todo  $t$  y  $g_t$
2. Mientras  $n \leq N$ :
  - a. Iniciar estado inicial  $s_1^n \leftarrow s_1$
  - b. Para cada  $t = 1, \dots, T$ :
    - $x_t^n \leftarrow \operatorname{argmax}_{x \in \mathbb{X}_t(s_t^n)} \{r_t(s_t^n, x) + \bar{Q}_t^{G,n-1}(G_t(y_t(s_t^n, x)))\}$ ,
    - $y_t^n \leftarrow y_t(s_t^n, x_t^n)$ ,
    - $g_t^n \leftarrow G_t(y_t^n)$ ,
    - $q_t^n \leftarrow r_t(s_t^n, x_t^n) + \bar{Q}_t^{G,n-1}(g_t^n)$ .
    - $\bar{Q}_{t-1}^{G,n}(g_{t-1}^n) \leftarrow (1 - \alpha_n) \bar{Q}_{t-1}^{G,n-1}(g_{t-1}^n) + \alpha_n q_t^n$
    - $s_{t+1}^n \leftarrow f(y_t^n, \omega_t^n)$
  - c.  $n++$
3. Retornar  $\bar{Q}_t^{G,N}$



# Ejecución posterior:

- Una vez estimada la aproximación  $\bar{Q}_t^G(g_t)$  se puede ejecutar el MDP.
- **Política de decisión con agregación de estados** toma decisión en etapa  $t$  y estado  $s_t$  mediante:

$$d_t^{VFA}(s_t) \in \operatorname{argmax}_{x \in \mathbb{X}_t(s_t)} \{ r_t(s_t, x) + \bar{Q}_t^G(G_t(y_t(s_t, x))) \}$$

, donde  $\bar{Q}_t^G(G_t(y_t))$  aproxima a  $Q_t(y_t)$ .

- Nota: El paso de simulación no se ve afectado por la agregación de estados (solo la calibración y la optimización).

# Agregación multicapa

Básicamente, trabajar con dos o más niveles de agregación a la vez.

$G_t^1$ : nivel agregado

$G_t^2$ : nivel más desagregado

Luego estimar:

$$Q_t(y_t) \approx \beta_n \bar{Q}^{G^1}(G_t^1(y_t)) + (1 - \beta_n) \bar{Q}^{G^2}(G_t^2(y_t))$$

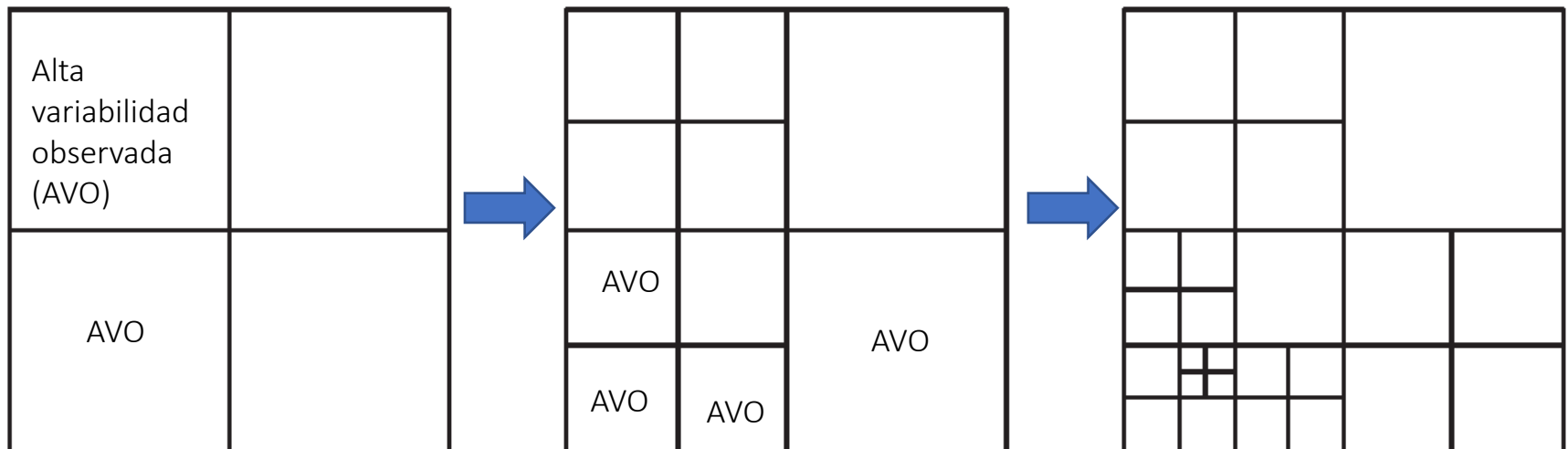
- Ir reduciendo el peso del nivel más agregado a medida que se aprende más de  $Q$ .

# Menú del Día

- ❖ Backward-pass
- ❖ Agregación de estados
- ❖ Dynamic *look-up* tables

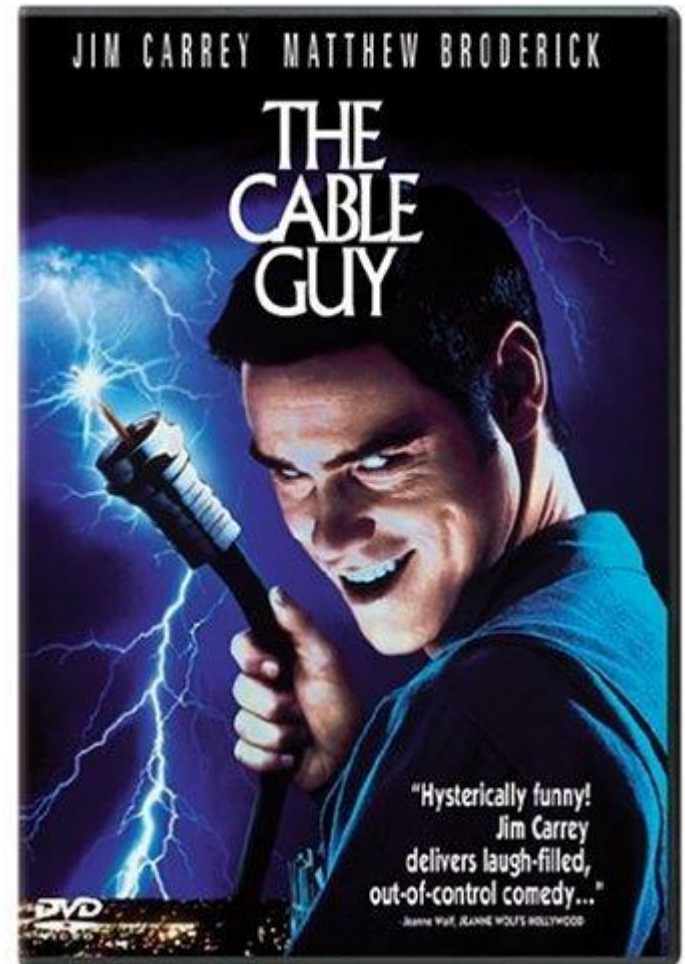
# Dynamic Look-up table: (Ulmer *et al.*, 2017)

- Es una regla dinámica de agregación de estados.
- Permite trabajar con espacios de estado continuos o grillas discretas muy finas.
- Busca particionar la tabla desagregando estados a medida que los datos lo sugieren en función de la variabilidad observada de la estimación.



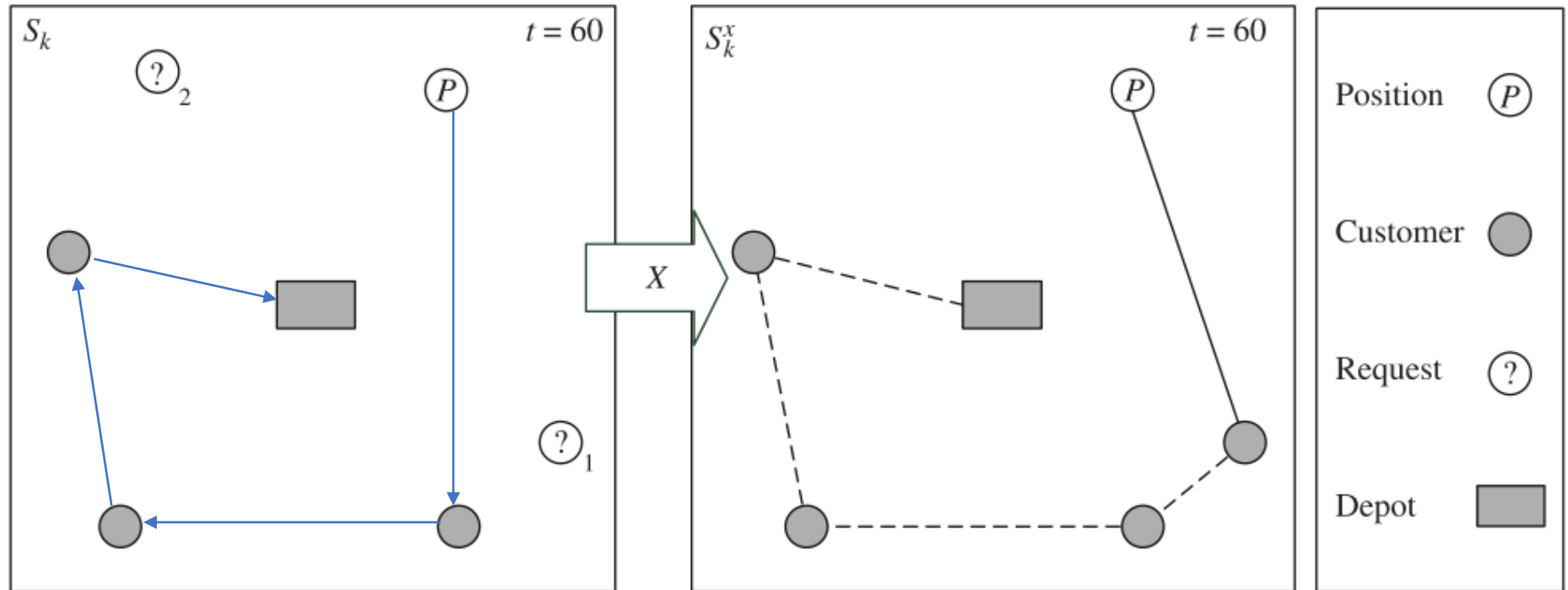
# Agendamiento dinámico de visitas (Ulmer, 2018)

- Técnico visita clientes durante un día. Tiempos de viaje y servicio conocidos.
- Solicitud del servicio es dinámica.
- **Efecto:** Cada vez que técnico se despide de un cliente ya atendido, revisa el sistema y aparecen nuevas peticiones de servicio.
- **Acción:**
  1. Aceptar o rechazar cada petición de forma inmediata. Si acepta, la debe visitar, congestiona su agenda.
  2. Podría reconfigurar su futura ruta todavía no ejecutada.
- **Objetivo:** maximizar # de servicios.



# Agendamiento dinámico de visitas

Dinámica del sistema, pre y post decisión



# Agendamiento dinámico de visitas

Estado de post-decisión en tiempo  $t \in [0, T]$ :

- Posición actual  $j \in N$
- $\rho = \{j, p_1, p_2, \dots, p_i, \dots, c\}$ : ruta desde  $j$  que cubre pendientes hasta nodo terminal ( $c$ ).

- Agregación trabajada:

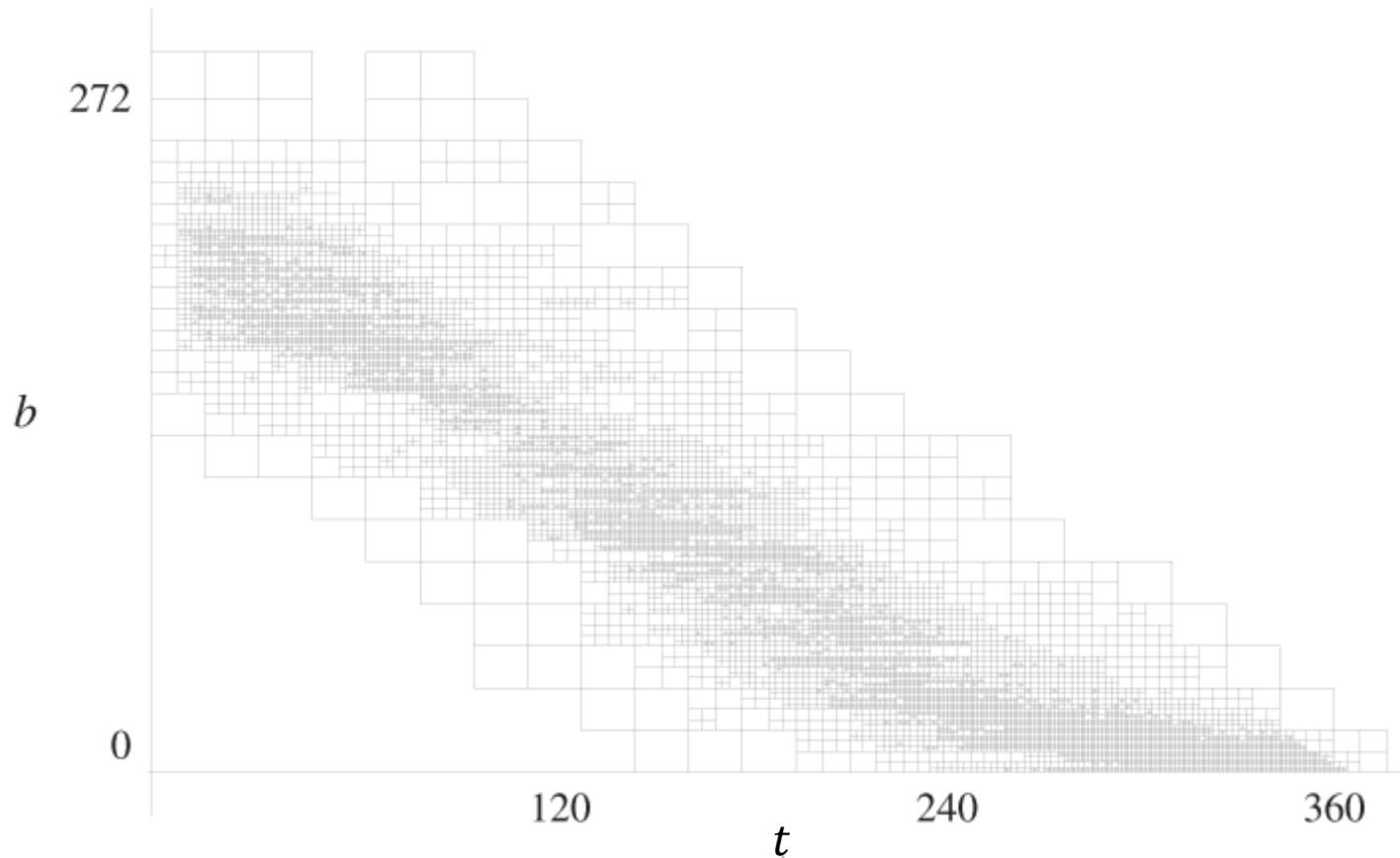
$$Q_t(j, \rho) \approx Q_t^G(b)$$

- $b(\rho) = T - t - \bar{d}(\rho)$ : Presupuesto de tiempo libre a futuro.

# Agendamiento dinámico de visitas

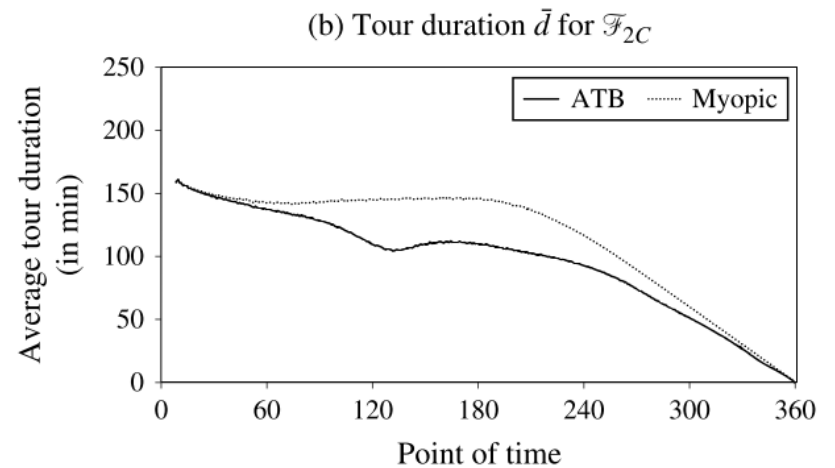
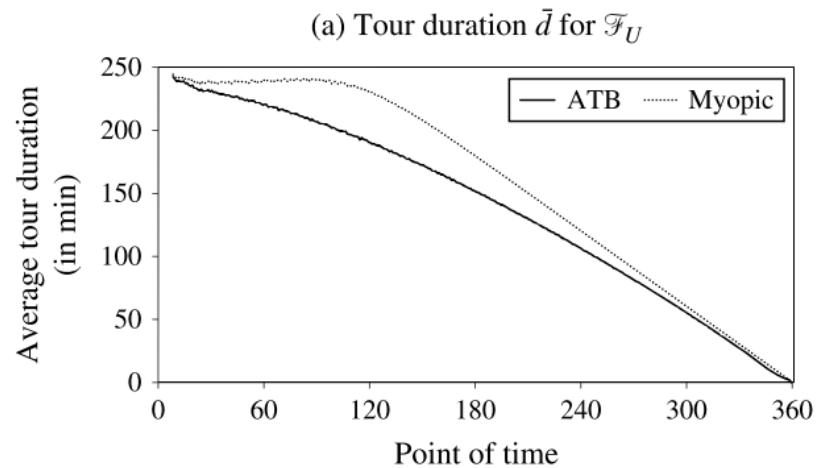
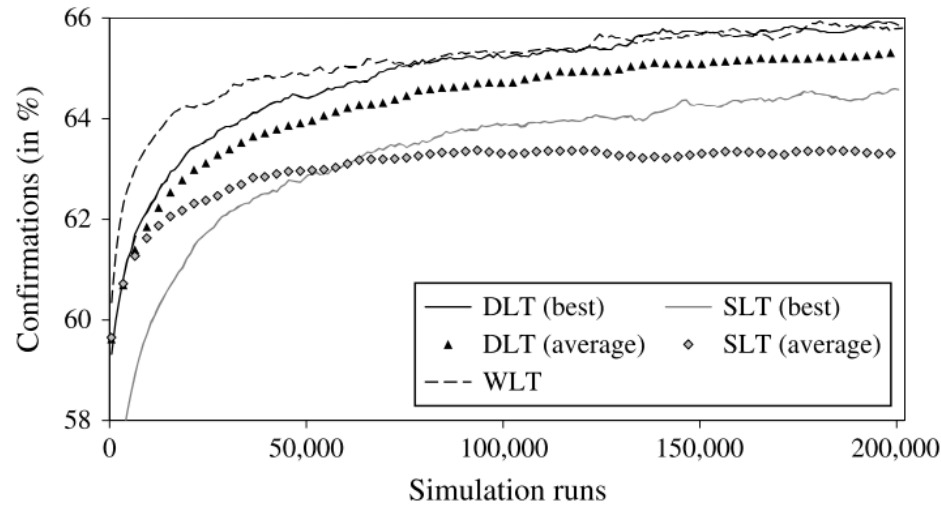
Calibración de Dynamic Lookup Table:

$\mathcal{A}_{20}$  After 10,000 Simulation Runs





# Agendamiento dinámico de visitas



# Agendamiento dinámico de visitas

## TRANSPORTATION SCIENCE

[JOURNAL HOME](#) [ARTICLES IN ADVANCE](#) [CURRENT ISSUE](#) [ARCHIVES](#) [ABOUT](#) [SUBMIT](#)

[View PDF](#)

[Tools](#)[Share](#)

[Home](#) > [Transportation Science](#) > [Vol. 52, No. 1](#) >

### Budgeting Time for Dynamic Vehicle Routing with Stochastic Customer Requests

Marlin W. Ulmer , Dirk C. Mattfeld, Felix Köster

Published Online: 24 Mar 2017 | <https://doi.org/10.1287/trsc.2016.0719>

# VFA con *Lookup* table

## Ventaja:

- Reduce esfuerzo *online*. Solo requiere resolver el problema de decisión.
- Proactivo, *feedforward* basado en entrenamiento.
- Explota viejos conocidos: simulación computacional, ajuste estadístico y optimización determinística.

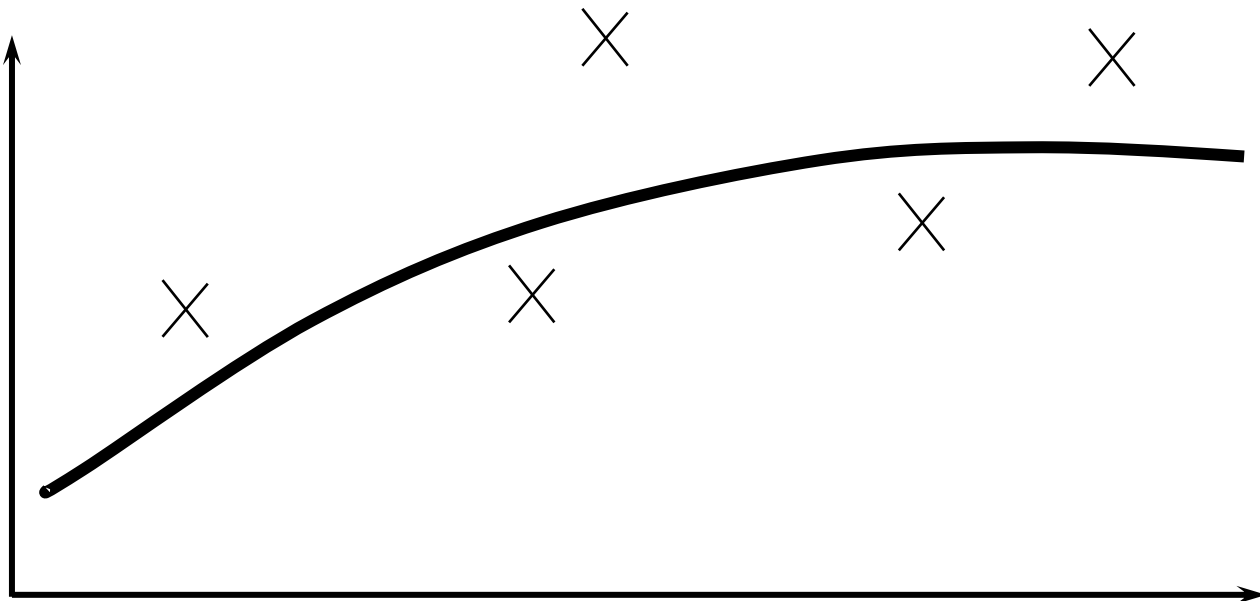
## Desventaja:

- Depende del problema, de los datos y de la estimación de partida.
- Entrenamiento puede ser caro y largo.
- No más allá de las 4 o 5 dimensiones en el espacio de estados.
- No explota estructura del value-to-go.
- *Overfitting*.

## Recomendación del Chef:

- Cuando no hay indicios de estructura predecible.
- Cuando hace sentido agregar el estado original.
- Para decisiones rápidas, cuando el cálculo *online* es caro.

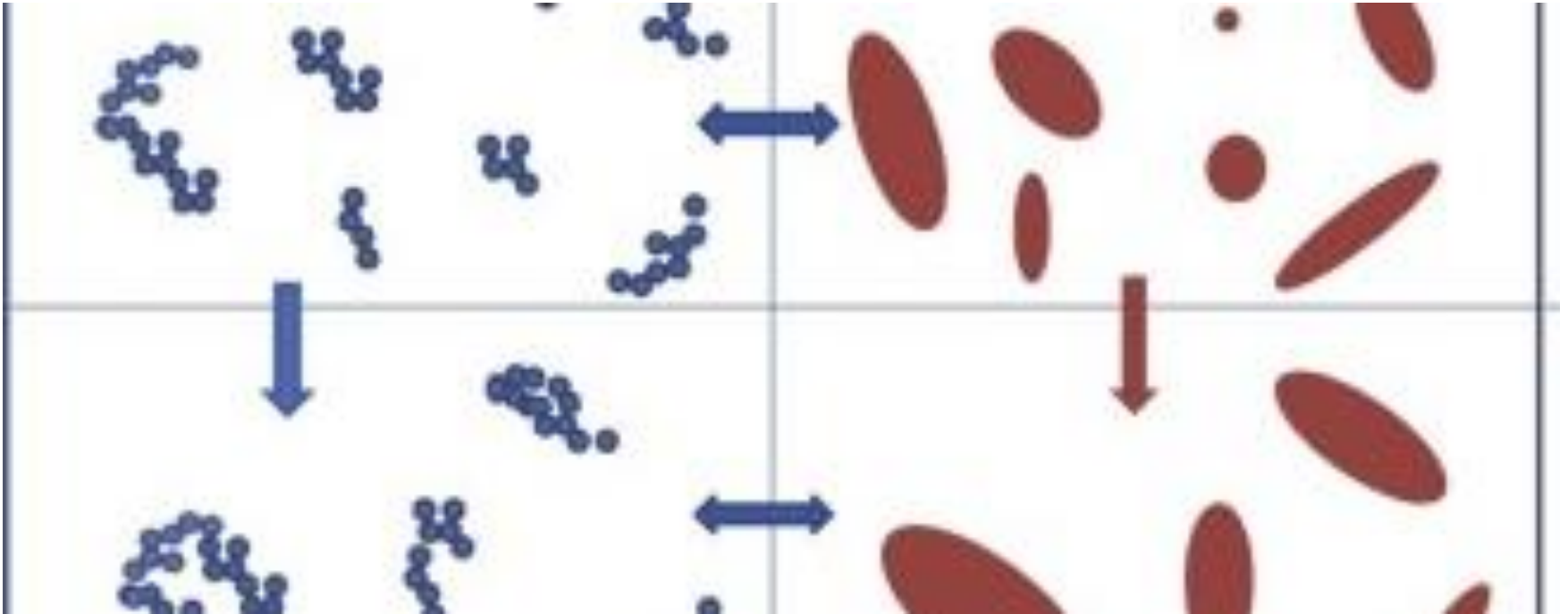
## Próxima clase: Aproximación paramétrica



# Cuarta Parte:

## Clase 5 – VFA – *Lookup Tables 2*

Optimización Dinámica - ICS



Mathias Klapp